

1. まえがき

砂の単純せん断あるいは一面せん断試験において、せん断応力の増加とともに、主応力の大きさおよび方向が変化することは周知の事実である。しかし、この事実を直接的にかつ定量的に実証した例は少く、Roscoeらによる一連の実験が知られるのみである。各種試験機による応力・ひずみデータ間の関係を明確にし、真に信頼し得る応力・ひずみ関係を提供するためには、供試体の応力状態・ひずみ状態が明確な、この種の実験データの集積が重要であるように思われる。^{①②}

主応力軸の方向はまた、粒状体の強度・変形の微視的なメカニズムと密接な関係がある。小田は三軸圧縮試験におけるひずみ硬化過程は、粒子間接点の最大主応力方向への集中によって特徴づけられることを見出した。^③さらに、小西、小田・小西は、単純すなは一面せん断試験においても、同様に、粒子間接点の最大主応力方向への集中が生じることを確認した。^{④⑤}されば、接点のある方向に集中するということは、粒状体の構造が異方的になることであり、上述のことと言いかえれば、主応力軸と異方性の軸とが一致することである。

ところで、これまでの報告では、2次元粒状体における最大主応力方向の推定法がややあいまいであった。そこで今回は、粒子間力の測定値を用いて、せん断の各段階におけるモールの応力図を作図し、応力状態の推移を調べるとともに、主応力の方向を求めた。作図に用いた応力点が各段階について2~4個と少なく、精度的には十分とは言えないが、得られた結果は、前報までの主応力方向の値がほぼ妥当であることを支持するものである。

2. 粒子間力から応力への変換

粒状体内部に仕立の直線ab(一般的には平面)を考えよう(図-1の線分ab)。この線分ab上の平均応力は、abの上方に重心を持つ粒子と下方に重心を持つ粒子との間の接点 $C_1, C_2, \dots, C_i, \dots, C_n$ を通して伝達される粒子間力 f_i ($i=1, 2, \dots, n$)の和を線分abの長さ l (一般的には面積)で除したものに等しいと考える。線分abは水平面と α の角をもつものとする。粒子間力 f_i が線分abの法線方向となす角を β' と表わせば、 f_i のabに垂直な成分および平行な成分はそれぞれ $f_i \cos \beta'$, $f_i \sin \beta'$ となる。線分ab上の平均垂直応力 σ_α および平均せん断応力 τ_α は、それぞれ、 $\sigma_\alpha = \sum_{i=1}^n f_i \cos \beta' / l$, $\tau_\alpha = \sum_{i=1}^n f_i \sin \beta' / l$ ……(1)

線分abの方向を次々に変化させて、 σ_α , τ_α を求め、 σ_α で平面上に示されば、モールの応力図が描かれる。

3. モールの応力図

本報告の実験では、粒子数が少ないので、図-2に示す円形領域内の平行な直線群(13本、合計長さ l)に沿って、接点を選ぶことにより、数不多

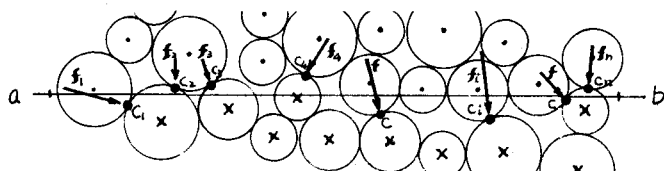


図-1 粒状体内の線分ab(長さl)

x印の粒子はabの下方にある。選択すべき接点は●印(C_1, C_2, \dots)

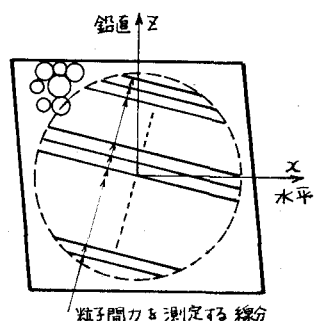


図-2 2次元粒状体モデルにおける粒子間力測定のための直線群。

(円形領域に限らず)の解説の都合上の理由)

くし、局部的ひびきの影響を除くようにして。また粒子間力は、光弹性高次数と輪の形から、大きさと方向をそれぞれ測定しているが、粒子間力の大小（輪次数0.2~0.4次以下）接点はかなりの数を有するを得ず、一方、せん断力の増大とともに、平均粒子間力は増大するところから、絶対値の比較が困難であるため、水平面（ $\alpha=0^\circ$ ）上の垂直応力 $\sigma_N = \sigma_{N\text{c}} = \text{一定}$ となるように、応力値を補正して。

このようにして得られた、応力図の例を図-3、図-4に示す。これらの図には応力比 τ/σ_N の値を破線で示してある。この τ/σ_N 線は、水平面上の応力場を通るべきものであるが、図-3 の L12 を除いて、比較的よく合っていると考えてよい。

また最大主応力が鉛直となる角 ψ' は、前報に示した粒子間接点の集中方向 ψ' と（図-4 の DB4 を除き） 5° 以内の誤差で一致していることがわかった。[図-3 の最大主応力の付近にある応力点は各々の ψ' 方向のものである。]

場合、小田・小西の提案した $\tau/\sigma_N = K \tan \psi'$ (2) なる式より、 $\sigma_1 = (\tau^2 + K\sigma_N^2)/K\sigma_N$ 、 $\sigma_3 = (1 - K)\sigma_N$ (3) の関係があることを示した。(3) 式で興味深いことは、 σ_3 も常に無関係であり、 σ_N が一定であれば σ_3 も一定となることである。図-3、図-4 のモール円においても、若干のずれはあるが、ほぼこの関係が成立してい。

参考文献 ① Roscoe Bassett and Cole (1967) Geotech. Conf. Oslo ② Cole (1967) 博士論文 Cam. Uni. ③ Oda (1972, 73, 74)
Soils and Found. ④ Oda and Konishi (1974) Soils and Found. ⑤ 小西 (1973) 土木学会年次講演会 など、⑥ 萩原 (1975) 第10回土壤工学
研究発表会

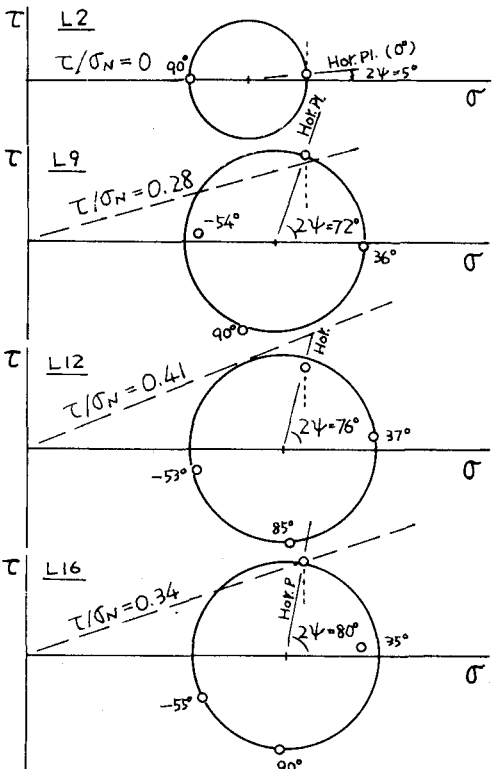


図-3 モールの応力図 (Lシリーズ)

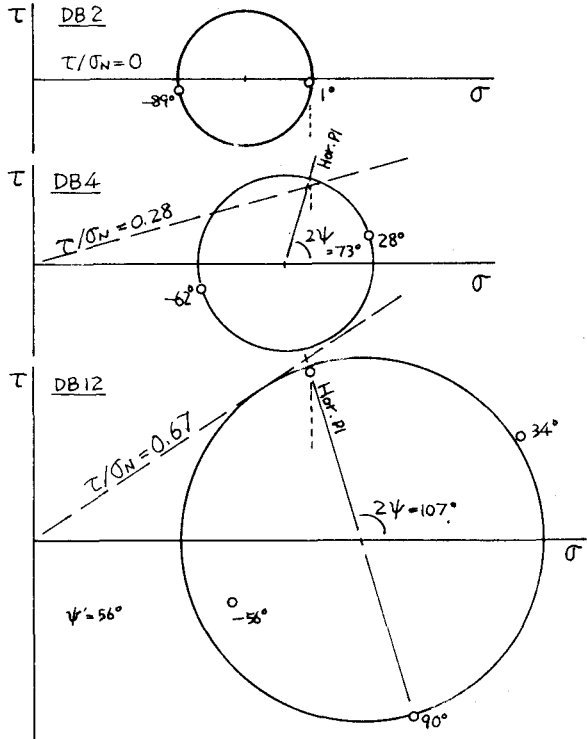


図-4 モールの応力図 (DBシリーズ)

図-3, 4とも同一スケール。図中 $90^\circ, -55^\circ, 37^\circ, \dots$ となるのは面の水平からの傾角の度数。